

ДИСТАНЦИОННОЕ ЗОНДИРОВАНИЕ АТМОСФЕРЫ, ГИДРОСФЕРЫ
И ПОДСТИЛАЮЩЕЙ ПОВЕРХНОСТИ

УДК 551.508

М.М. Кугейко, С.А. Лысенко

Об определении профилей оптических характеристик тропосферного аэрозоля из сигналов Раман-лидара и одноуглового нефелометра

Белорусский государственный университет, г. Минск

Поступила в редакцию 8.07.2007 г.

Предложена методика восстановления профилей коэффициентов ослабления ε_a и обратного рассеяния $\beta_{a,\pi}$ тропосферного аэрозоля из сигналов упругого рассеяния на длинах волн $\lambda_0 = 355; 532; 1060$ нм и комбинированного рассеяния на атмосферном азоте ($\lambda_R = 387; 607$ нм), не требующая расчета производной от логарифма отношения атмосферной плотности азота и устраняющая неопределенность в выборе спектрального хода $\varepsilon_a(\lambda)$ путем измерения коэффициентов аэрозольного светорассеяния $\beta_{a,0}$ под углом $\theta = 33^\circ$ на длинах волн λ_0 . Выбор угла 33° основан на анализе множественных регрессий между спектральными значениями ε_a и $\beta_{a,0}$ аэрозоля приземного слоя атмосферы. Приводятся примеры восстановления вертикальных профилей $\beta_{a,\pi}$ и ε_a , оценивается влияние ошибок измерений и флуктуаций температуры атмосферы на точность определения $\beta_{a,\pi}$ и ε_a .

Введение

Исследование распределения оптических и микрофизических параметров аэрозоля по вертикальным и наклонным трассам имеет важное значение для решения проблем радиационного баланса атмосферы, физики и химии аэрозоля, а также процессов переноса загрязняющих веществ в атмосфере. Наиболее эффективно при этом лидарное зондирование, так как позволяет проводить длительные непрерывные измерения с хорошим пространственным и времененным разрешением. Данные многоволновых лидарных измерений содержат информацию не только об оптических характеристиках аэрозоля, но и позволяют определять его микрофизические параметры, такие как концентрация, функция распределения аэрозольных частиц по размерам и показатель преломления вещества аэрозоля.

В последнее время развитие техники лидарного зондирования привело к появлению комбинированных лидаров, сочетающих многоволновое зондирование с приемом сигналов комбинированного рассеяния (КР) на одном из основных атмосферных газов, например на атмосферном азоте (Раман-лидар). Среди них наибольший интерес представляют сравнительно простые системы, построенные на основе Nd:YAG-лазеров с преобразованием частоты во вторую и третью гармоники (длины волн $\lambda_0 = 1060, 532$ и 355 нм) [1–3]. Здесь возможны 5-волновые измерения с использованием двух сигналов КР на атмосферном азоте (387 и 607 нм) либо 4-волновые измерения с использованием только одного канала КР, например на 607 нм.

Лидарное уравнение для волн λ_0 лазера может быть записано в виде [4, 5]:

$$P_{\lambda_0}(z) = \frac{A_0}{z^2} T_{\lambda_0}^2 [\beta_{m,\pi}(\lambda_0, z) + \beta_{a,\pi}(\lambda_0, z)] \times \\ \times \exp \left\{ -2 \int_{z_0}^z [\varepsilon_m(\lambda_0, z') + \varepsilon_a(\lambda_0, z')] dz' \right\}, \quad (1)$$

где $P_{\lambda_0}(z)$ — мощность сигнала, обусловленного молекулярным и аэрозольным рассеянием; z_0 — минимальное расстояние от лидара, на котором достигается полное перекрытие поля зрения приемника и посыпанного импульса; A_0 — аппаратурная постоянная; $\beta_{m,\pi}(\lambda_0, z)$ и $\beta_{a,\pi}(\lambda_0, z)$ — коэффициенты обратного молекулярного и аэрозольного рассеяния; $\varepsilon_m(\lambda_0, z)$ и $\varepsilon_a(\lambda_0, z)$ — коэффициенты молекулярного и аэрозольного ослабления для длины волны λ_0 соответственно;

$$T_{\lambda_0} = \exp \left\{ - \int_0^{z_0} [\varepsilon_a(\lambda_0, \xi) + \varepsilon_m(\lambda_0, \xi)] d\xi \right\}$$

— прозрачность теневой зоны лидара. Для раманской длины волны λ_R мощность лидарного сигнала, обусловленная чисто молекулярным рассеянием, имеет вид [4, 5]:

$$P_{\lambda_R}(z) = \frac{A_R}{z^2} T_{\lambda_R} N_R(z) \frac{d\sigma_{\lambda_R}(\pi)}{d\Omega} \times \\ \times \exp \left\{ - \int_{z_0}^z [\varepsilon_m(\lambda_0, z') + \varepsilon_a(\lambda_0, z') + \varepsilon_m(\lambda_R, z') + \varepsilon_a(\lambda_R, z')] dz' \right\}, \quad (2)$$

где

$$T_{\lambda_R} = \exp \left\{ - \int_0^{z_0} [\varepsilon_a(\lambda_0, \xi) + \varepsilon_a(\lambda_R, \xi) + \varepsilon_m(\lambda_0, \xi) + \varepsilon_m(\lambda_R, \xi)] d\xi \right\};$$

$N_R(z)$ — концентрация молекул азота на высоте z ; $d\sigma_{\lambda_R}(\pi)/d\Omega$ — дифференциальное сечение обратного рассеяния для молекул азота; A_R — аппаратурная постоянная.

Совместное решение (1) и (2) для спектральных значений $\varepsilon_a(\lambda_0, z)$ и $\beta_{a,\pi}(\lambda_0, z)$ требует использования априорных допущений или привлечения результатов дополнительных измерений.

Во-первых, необходимо знание относительного спектрального хода коэффициента ослабления света аэрозольным компонентом. Традиционно используется предположение $\varepsilon_a(\lambda) \sim \lambda^{-k}$, где коэффициент k зависит от типа аэрозоля и изменяется в пределах от 0 до 2 [4]. При решении системы уравнений, включающей один из сигналов КР, например на $\lambda_R = 607$ нм, и сигналы упругого рассеяния на $\lambda_0 = 355$, 532 и 1060 нм относительно $\varepsilon_a(\lambda_0, z)$ и $\beta_{a,\pi}(\lambda_0, z)$, неопределенность спектрального хода $\varepsilon_a(\lambda)$ (отсутствие информации о параметре k) может приводить к значительным ошибкам в определении $\varepsilon_a(\lambda_0)$ на длинах волн упругого рассеяния $\lambda_0 = 355$ и 1060 нм (при $\lambda_R = 607$ нм), а следовательно, и $\beta_{a,\pi}(\lambda_0)$. Так, в [6] показано, что при использовании одного канала КР (607 нм) ошибки восстановления профиля $\beta_{a,\pi}(\lambda_0, z)$ при $\lambda_0 = 355$ и 1060 нм, вызванные неопределенностью параметра k , могут превышать 100%.

Во-вторых, требуется информация о профиле температуры (нужно его либо задать по модели атмосферы, либо получить из аэрологических измерений), поскольку соотношение для определения профиля $\varepsilon_a(\lambda_0, z)$ включает операции численного дифференцирования как сигналов, так и логарифма отношения плотности азота [4], рассчитываемой по профилям атмосферной температуры и давления. Известно [7], что решение задачи численного дифференцирования неустойчиво. Это проявляется в усилении ошибок, возникающих из-за отличия истинного профиля температуры от профиля, который используется для расчета $N_R(z)$, вплоть до получения физически абсурдного результата.

Ниже описывается методика восстановления профилей оптических характеристик тропосферного аэрозоля на длинах волн упругого рассеяния с использованием двух каналов КР, не требующая расчета производной от плотности азота и исключающая неопределенность в выборе спектрального хода коэффициента ослабления света аэрозольным компонентом.

Методика

Для устранения необходимости расчета производной от плотности азота можно использовать отношение сигналов КР $P_{387}(z)$ и $P_{607}(z)$ на длинах

волн 387 и 607 нм соответственно, скорректированных на молекулярное ослабление, т.е.

$$S_{\lambda_R}(z) = P_{\lambda_R}(z) \exp \left\{ - \int_{z_0}^z [\varepsilon_m(\lambda_0, \xi) + \varepsilon_m(\lambda_R, \xi)] d\xi \right\}.$$

Однако при этом для восстановления профилей $\varepsilon_a(\lambda_0, z)$ ($\lambda_0 = 355$ и 532 нм) требуется знание соотношений для связи спектральных значений $\varepsilon_a(\lambda_i, z)$ на $\lambda_i = 355$; 387; 532 и 607 нм, которое в самом общем виде можно записать как

$$\varepsilon_a(\lambda_i, z) = C_{\lambda i} \varepsilon_a(\lambda_0, z), \quad (3)$$

где $C_{\lambda i}$ — коэффициенты связи (способ определения которых будет описан ниже). Предполагая, что коэффициенты $C_{\lambda i}$ не зависят от z из отношения сигналов КР (2) на $\lambda_R = 387$ и 607 нм, несложно получить выражение для $\varepsilon_a(\lambda_0, z)$. Так, при $\lambda_0 = 532$ нм

$$\begin{aligned} \varepsilon_a(532, z) &= \frac{d}{dz} \ln F_{532}(z_0, z) = \\ &= \frac{d}{dz} \ln \left[\frac{S_{387}(z) S_{607}(z_0)}{S_{387}(z_0) S_{607}(z)} \right]^{\frac{1}{1-C_{355}-C_{387}+C_{607}}}, \end{aligned} \quad (4)$$

где

$$C_{\lambda i} = \varepsilon_a(\lambda_i) / \varepsilon_a(532); \quad \ln F_{532}(z_0, z) = \int_{z_0}^z \varepsilon_a(532, \xi) d\xi$$

— аэрозольная оптическая толщца участка $[z_0, z]$ трассы зондирования на длине волны 532 нм (здесь и в дальнейшем индекс у $S_{\lambda i}$, $F_{\lambda i}$ и $C_{\lambda i}$ соответствует длине волны λ_i). Выражение, аналогичное (4), несложно получить и для $\varepsilon_a(355, z)$. Отличия будут заключаться лишь в значениях коэффициентов $C_{\lambda i} = \varepsilon_a(\lambda_i) / \varepsilon_a(355)$ в показателе степени (4), равном в этом случае $(C_{607} + C_{532} - C_{387} - 1)^{-1}$. Из (4) видно, что точность восстановления профиля $\varepsilon_a(\lambda_0, z)$ не зависит от профиля концентрации азота, а определяется погрешностями измерения сигналов КР и пространственными вариациями $C_{\lambda i}$. Устойчивость (4) к разбросу $C_{\lambda i}$ рассматривается ниже.

Относительный спектральный ход $\varepsilon_a(\lambda)$ определяется видом нормированной на единицу функции распределения по размерам и комплексным показателем преломления вещества рассеивающих частиц, а не их концентрацией. Данные многочисленных измерений вертикальной структуры аэрозолей тропосферы [8] показывают, что изменения параметров функции распределения и комплексных показателей преломления частиц отдельных фракций находятся на уровне их случайных вариаций, изменения же оптических характеристик аэрозолей вызываются, прежде всего, вариациями концентраций частиц. Сказанное оправдывает использование предположения о неизменности значений коэффициентов $C_{\lambda i}$ в тропосфере.

Что касается наличия шумов в сигналах, то к настоящему времени разработано множество

алгоритмов, позволяющих эффективно сглаживать измеряемые сигналы и в максимальной степени устранять влияние случайных ошибок на результат численного дифференцирования сигналов [9–11].

Из (1) с учетом (3) и (4) нетрудно получить выражения для коэффициентов обратного рассеяния на длинах волн упругого рассеяния $\lambda_0 = 355, 532$ и 1060 нм:

$$\begin{aligned}\beta_{a,\pi}(350, z) &= [\beta_{a,\pi}(355, z_k) + \beta_m(355, z_k)] \times \\ &\times \frac{S_{355}(z)}{S_{355}(z_k)} \left[\frac{F_{532}(z_0, z)}{F_{532}(z_0, z_k)} \right]^{2C_{355}} - \beta_m(355, z), \\ \beta_{a,\pi}(532, z) &= [\beta_{a,\pi}(532, z_k) + \beta_m(532, z_k)] \times \\ &\times \frac{S_{532}(z)}{S_{532}(z_k)} \left[\frac{F_{532}(z_0, z)}{F_{532}(z_0, z_k)} \right]^2 - \beta_m(532, z), \\ \beta_{a,\pi}(1060, z) &= [\beta_{a,\pi}(1060, z_k) + \beta_m(1060, z_k)] \times \\ &\times \frac{S_{1060}(z)}{S_{1060}(z_k)} \left[\frac{F_{532}(z_0, z)}{F_{532}(z_0, z_k)} \right]^{2C_{1060}} - \beta_m(1060, z),\end{aligned}\quad (5)$$

где

$$S_{\lambda_0}(z) = P_{\lambda_0}(z) \exp \left\{ 2 \int_{z_0}^z \epsilon_m(\lambda_0, \xi) d\xi \right\};$$

z_k — точка калибровки, в которой априорно задается значение $\beta_{a,\pi}(\lambda_0, z_k)$. Обычно используется предположение, что в верхних слоях тропосферы для видимой и УФ-областей спектра справедливо соотношение $\beta_a(\lambda_0, z) \ll \beta_m(\lambda_0, z)$, в силу чего в (5) значение $\beta_{a,\pi}(\lambda_0, z_k)$ при $\lambda_0 = 355, 532$ нм можно положить равным нулю. Сложнее дело обстоит с выбором значения $\beta_{a,\pi}(\lambda_0, z_k)$ в ИК-области спектра ($\lambda_0 = 1060$ нм), где аэрозольное обратное рассеяние на всей трассе зондирования может существенно превышать молекулярное. В этом случае практически единственным возможным способом определения $\beta_{a,\pi}(1060, z_k)$ является интерполяция рассчитанных из (5) спектральных значений $\beta_{a,\pi}(355, z)$ и $\beta_{a,\pi}(532, z)$.

Как видно из (4) и (5), для определения профилей оптических характеристик аэрозоля необходимо привлечение дополнительных измерений по установлению относительного спектрального хода $\epsilon_a(\lambda)$ (значений коэффициентов $C_{\lambda i}$). Спектральные значения $\epsilon_a(\lambda)$ можно получить при помощи интегрального нефелометра, расположенного рядом с лидаром. Однако если имеется однозначная связь между коэффициентом рассеяния $\beta_{a,\theta}$ под углом θ и ϵ_a , то для нахождения последнего можно воспользоваться измерениями рассеянного света под данным углом θ . В этом случае значения $\epsilon_a(\lambda)$ можно определять непосредственно на пути прохождения зондирующего импульса, т.е. на исследуемой трассе зондирования. Для этого следует организовать измерение рассеянных под углом θ сигналов, разместив в непосредственной близости от лидара дополнительное фотоприемное устройство.

Так, для длины волны $\lambda = 500$ нм теоретически и экспериментально установлена достаточно хорошая корреляция между ϵ_a и $\beta_{a,\theta}$. Среднеквадратическое отклонение величины $\rho = \beta_a(45^\circ)/\epsilon_a$ не превышает 15% от его среднего значения 1,45 [12]. Для других длин волн аналогичные регрессионные зависимости в литературе не встречаются. В частности, представляет интерес возможность получения значений $\epsilon_a(\lambda_i)$ на длинах волн $\lambda_i = 355, 387, 532, 607, 1060$ нм, используемых при лазерном зондировании атмосферы лидаром, работающим на частотах упругого и КР.

Сформулируем требующую решения задачу следующим образом: представить значения используемых в соотношениях (4) и (5) коэффициентов $C_{\lambda i}$, определяющих относительный спектральный ход $\epsilon_a(\lambda)$, как функции нескольких легко измеряемых параметров — спектральных значений $\beta_{a,\theta}(\lambda)$. Причем под термином «функция» здесь понимается не детерминированная, а статистическая зависимость.

Будем считать, что мы имеем дело с тремя фракциями аэрозольных частиц: мелко-, средне- и грубодисперсная, для обозначения которых используются индексы $j = 1, 2, 3$ соответственно. Каждая фракция характеризуется концентрацией частиц в единице объема N_j , комплексным показателем преломления m_j и нормированной на единицу функцией распределения частиц по размерам $f_j(a)$. Зная длину волны света λ , можно по известным формулам Ми вычислить объемные коэффициенты ослабления и направленного рассеяния [13]:

$$\begin{aligned}\epsilon_a(\lambda) &= \pi \sum_{i=1}^3 N_j \int_0^\infty K_e(m_j, a, \lambda) a^2 f_j(a) da; \\ \beta_{a,\theta}(\lambda) &= \pi \sum_{i=1}^3 N_j \int_0^\infty K_\theta(m_j, a, \lambda) a^2 f_j(a) da,\end{aligned}\quad (6)$$

где $K_e(m_j, a, \lambda)$ и $K_\theta(m_j, a, \lambda)$ — факторы эффективности ослабления и рассеяния излучения под углом θ частицей радиусом a .

Таким образом, задача определения $C_{\lambda i}$ для нашего случая (источник излучения — Nd:YAG-лазер) сводится к задаче получения соотношений множественных регрессий между $\epsilon_a(\lambda_i)/\epsilon_a(\lambda_0)$ (при $\lambda_0 = 355$ и 532 нм, $\lambda_i = 355; 387; 532; 607; 1060$ нм, $\lambda_i \neq \lambda_0$) и $\beta_{a,\theta}(355)/\beta_{a,\theta}(532)$ и $\beta_{a,\theta}(532)/\beta_{a,\theta}(1060)$, рассчитанным по (6). Для этого использовалось соотношение линейной ортогональной среднеквадратической множественной регрессии [14]:

$$\ln C_{\lambda i} = \ln \frac{\epsilon_a(\lambda_i)}{\epsilon_a(\lambda_0)} = a_{i0} + a_{i1} \ln \frac{\beta_{a,\theta}(355)}{\beta_{a,\theta}(532)} + a_{i2} \ln \frac{\beta_{a,\theta}(532)}{\beta_{a,\theta}(1060)}, \quad (7)$$

в котором коэффициенты a_{ik} определялись теоретически, путем вариаций фракционных концентраций, вещественной и мнимой частей показателя преломления и параметров функции распределения частиц фракций по размерам. Для получения численных значений коэффициентов a_{ik} использовалась трех-

фракционная модель аэрозоля приземного слоя Андреева–Ивлева [15] с варьирующими значениями метеорологической дальности видимости S_m и влажности q в диапазонах их значений соответственно 5–100 км, 10–99%. Поскольку одним и тем же S_m и q в реальности могут соответствовать различные комбинации микрофизических параметров, в то время как спектральная зависимость $\varepsilon_a(\lambda)$ однозначно определяется последними, то помимо равномерного варьирования S_m и q на все микрофизические параметры модели (параметры функций распределения, показатели преломления, весовые вклады фракций) также накладывался 15%-й случайный разброс. Сказанное позволяет в некоторой степени учесть ошибки и разброс экспериментальных данных, на которых основана модель.

Об оправданности использования модели [15] для расчета корреляционных связей между коэффициентом ослабления и коэффициентами направленного светорассеяния свидетельствует установленное нами на основании модели [15] среднее значение коэффициента $\rho = \beta_a(45^\circ)/\varepsilon_a = 1,39$ для длины волны $\lambda = 500$ нм, отличающееся лишь на 4% от приводимого в литературе значения, равного 1,45 [12].

С целью выбора оптимального угла приема рассеянного излучения (в плане точности получения относительного спектрального хода $\varepsilon_a(\lambda_i)$) проведен расчет ошибок определения $C_{\lambda i}$ из уравнения (7) для углов θ из диапазона 1–180°. При каждом θ коэффициенты a_{ik} определялись методом наименьших квадратов:

$$\min \sum_{n=1}^S \left[\ln \frac{\varepsilon_a^{(n)}(\lambda_i)}{\varepsilon_a^{(n)}(\lambda_0)} - a_{i0} - a_{i1} \ln \frac{\beta_{a,\theta}^{(n)}(355)}{\beta_{a,\theta}^{(n)}(532)} - a_{i2} \ln \frac{\beta_{a,\theta}^{(n)}(532)}{\beta_{a,\theta}^{(n)}(1060)} \right]^2,$$

где $n = 1, 2, \dots, S$ – реализация микрофизическими параметров аэрозоля с соответствующими им опти-

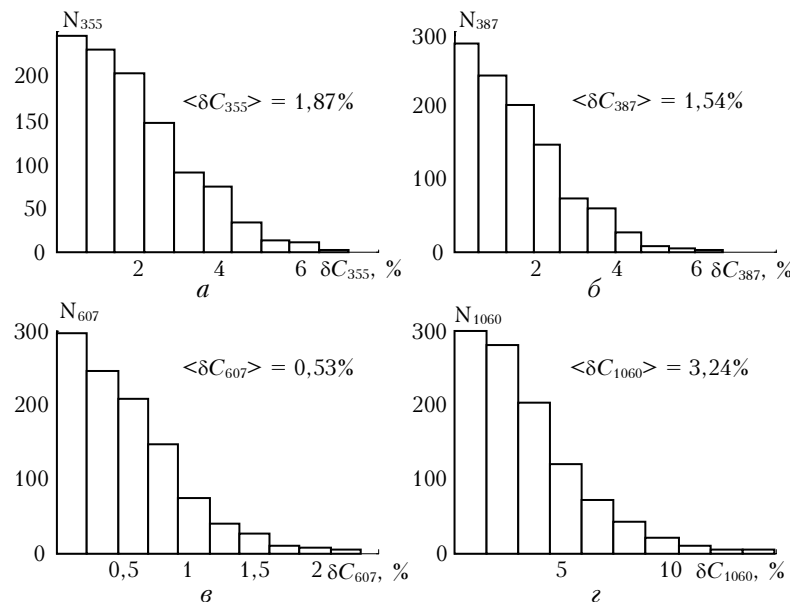


Рис. 1. Гистограммы ошибок определения коэффициентов C_{355} (a); C_{387} (b); C_{607} (c) и C_{1060} (d) с использованием уравнения (7) при $\lambda_0 = 532$ нм, возникающих в различных атмосферных условиях, которые соответствуют $1,5 \cdot 10^3$ комбинаций микрофизическими параметров модели [15]

ческими характеристиками – $\varepsilon_a^{(n)}(\lambda_i)$ и $\beta_{a,\theta}^{(n)}(\lambda_i)$; $S = 1,5 \cdot 10^3$ – объем выборки.

Расчет максимальной и средней по всему объему выборки погрешностей восстановления относительного спектрального хода $\varepsilon_a(\lambda_i)$ из (7) показывает, что наименьшие погрешности соответствуют углу $\theta = 33^\circ$. Коэффициенты уравнения (7), соответствующие указанному углу при $\lambda_0 = 355$ и 532 нм, приведены в табл. 1 и 2 соответственно.

Таким образом, для установления относительного спектрального хода $\varepsilon_a(\lambda_i)$ требуется измерить коэффициенты рассеяния под углом 33° на длинах волн 355; 532; 1060 нм и из уравнения (7) (с соответствующими коэффициентами a_{i0} из табл. 1 и 2) вычислить $C_{\lambda i}$.

Таблица 1
Коэффициенты регрессионного уравнения (7)
при $\lambda_0 = 355$ нм

λ_i , нм	a_{i0}	a_{i1}	a_{i2}
387	-0,0265	-0,1725	0,0004
532	-0,0703	-0,5563	-0,1423
607	-0,0846	-0,6498	-0,2456
1060	-0,2098	-0,5621	-0,8349

Таблица 2
Коэффициенты регрессионного уравнения (7)
при $\lambda_0 = 532$ нм

λ_i , нм	a_{i0}	a_{i1}	a_{i2}
355	0,0703	0,5563	0,1423
387	0,0438	0,3838	0,1427
607	-0,0143	-0,0935	-0,1033
1060	-0,1394	-0,0059	-0,6926

О точности восстановления $\varepsilon_a(\lambda_i)/\varepsilon_a(\lambda_0)$ при $\lambda_0 = 532$ нм из спектральных значений коэффициента рассеяния под углом 33° можно судить по гистограммам ошибок $\delta C_{\lambda i}$, представленных на рис. 1,

где $N_{\lambda i}$ — число реализаций комплекса микрофизических параметров модели [15], при которых величина $C_{\lambda i}$ определена с ошибкой $\delta C_{\lambda i}$.

Данные гистограммы получены с учетом наложения на значения $\beta_{a,\theta}(\lambda_i)$ случайных ошибок измерения в пределах 5%. На рис. 1 указаны также значения среднеквадратических ошибок $\langle \delta C_{\lambda i} \rangle$. При этом, как видно из рис. 1, ошибки определения $C_{\lambda i}$ не превышают суммарную погрешность измерения $\beta_{a,\theta}(\lambda_i)$, равную в данном случае 15%.

Обсуждение результатов

Для анализа эффективности предлагаемой методики восстановления профилей коэффициентов ослабления и обратного рассеяния аэрозолем, включающей установление относительного спектрального хода $\varepsilon_a(\lambda_i)$ и соотношения для обработки сигналов упругого и КР (4), (5), нами проведен численный эксперимент по многоволновому зондированию атмосферы, результаты которого представлены на рис. 2.

Профили $\varepsilon_m(z, \lambda_i)$ получены с применением расчетных формул теории Рэлея [16] по заданным профилям давления, соответствующего стандартной модели газовой атмосферы [13], и профилю темпе-

ратуры (рис. 2, *a*). Для расчета $N_R(z)$ также использовались только что отмеченные профили. С целью оценки влияния вариаций атмосферной температуры на точность восстановления оптических характеристик аэрозоля профиль температуры, соответствующий рассчитываемым сигналам, задавался отличающимся от стандартного профиля температуры из [13] (максимальное расхождение составляет 5° при $z \approx 1,6$ км).

Заданный профиль $\varepsilon_a(355, z)$ изображен на рис. 2, *b*. Профили $\varepsilon_a(\lambda_i, z)$ на других длинах волн задавались как $\varepsilon_a(\lambda_i, z) = C_{\lambda i} \varepsilon_a(355, z)$, где $C_{\lambda i}$ при моделировании полагалось равным $(355/\lambda_i)^k$ (в предположении, что $\varepsilon_a(\lambda_i) \sim \lambda^{-k}$) с наложением на значения $k = 1$ пространственных вариаций (медленный дрейф и случайные флуктуации) в пределах 25%. Накладываемые пространственные вариации на значения $C_{\lambda i}$ соответствуют многочисленным атмосферным ситуациям, отмеченным в [8], и позволяют отследить устойчивость вышеописанной методики как к ошибкам определения $C_{\lambda i}$ (ошибкам параметризации спектра $\varepsilon_a(\lambda_i)$), так и к изменчивости $C_{\lambda i}$ по трассе.

Сигналы упругого и КР для последующего обращения рассчитывались аналитически по формулам (1) и (2) с наложением на них высокочастотных

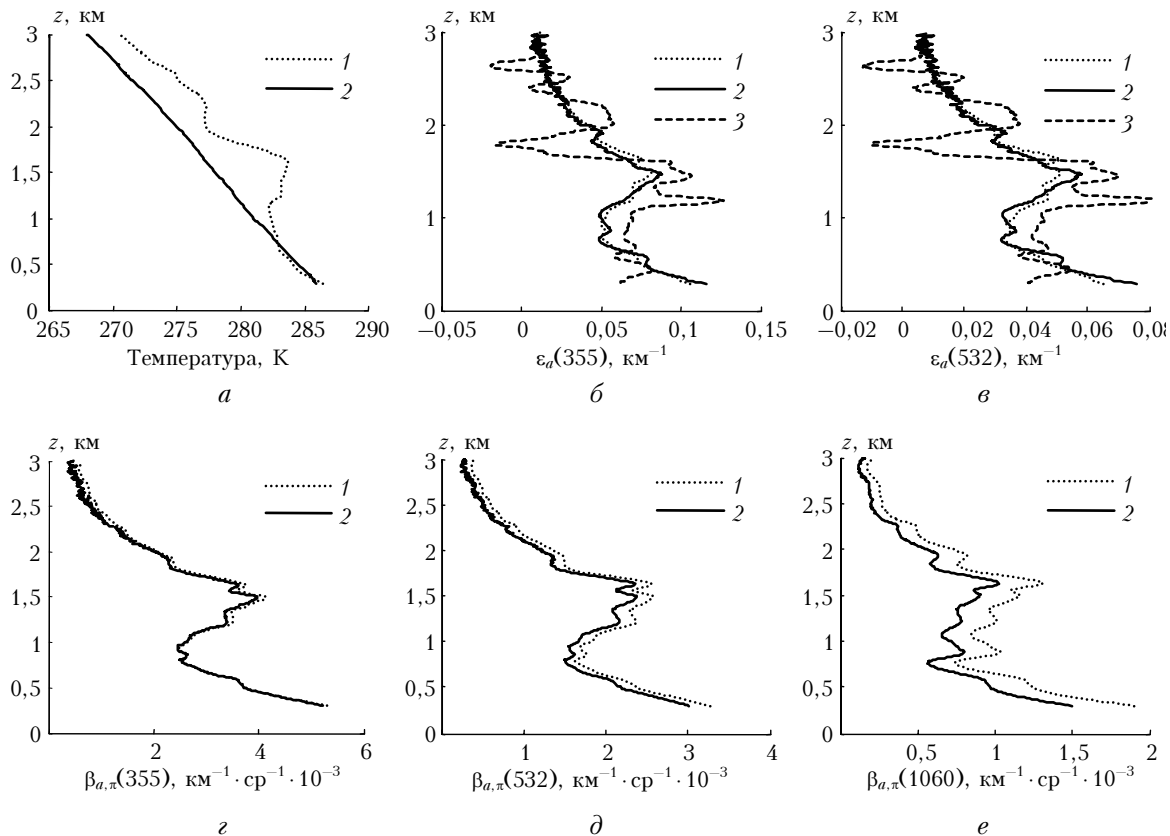


Рис. 2. Результаты численного эксперимента по многоволновому зондированию атмосферы: *a* — заданный профиль температуры (кривая 1) и профиль температуры, соответствующий стандартной газовой атмосфере [13] (кривая 2); *b* и *c* — результаты восстановления профилей $\varepsilon_a(\lambda_i, z)$ на длинах волн 355 и 532 нм соответственно (1, 2 и 3 — заданные профили, восстановленные из уравнения (4) и по методике [4]); *e* — результаты восстановления профилей $\beta_{a,\pi}(\lambda_i, z)$ на длинах волн 355, 532 и 1060 нм соответственно (1 и 2 — заданный и восстановленный профили $\beta_{a,\pi}(\lambda_i, z)$)

шумовых составляющих. Далее осуществлялась коррекция сигналов на молекулярное ослабление, соответствующее стандартной газовой атмосфере [13]. Профили $\varepsilon_a(\lambda_i, z)$ и $\beta_{a,\pi}(\lambda_i, z)$ восстанавливались из (4) и (5) при значениях $C_{\lambda i}$, равных $(355/\lambda_i)^k$, $k = 1$. При дифференцировании (4) осуществлялось предварительное пятиточечное сглаживание сигналов $S_{387}(z)$ и $S_{607}(z)$. Опорные значения $\beta_{a,\pi}(\lambda_i, z_k)$ в (5) задавались в конечной точке трассы зондирования с 25%-й погрешностью.

Результаты восстановления $\varepsilon_a(\lambda_0, z)$ и $\beta_{a,\pi}(\lambda_0, z)$ представлены на рис. 2, б–е. Средние по трассе зондирования погрешности $\delta\beta_{a,\pi}(\lambda_0, z)$, вычисляемые по формуле

$$\langle \delta\beta_{a,\pi}(\lambda_0) \rangle = \sqrt{\frac{1}{l} \sum_{m=1}^l [\tilde{\beta}_{a,\pi}(\lambda_0, z_m) - \beta_{a,\pi}(\lambda_0, z_m)]^2} / \sqrt{\frac{1}{l} \sum_{m=1}^l \beta_{a,\pi}(\lambda_0, z_m)}, \quad (8)$$

где l – число каналов регистрации сигнала на трассе зондирования; $\beta_{a,\pi}(\lambda_0, z_m)$ и $\tilde{\beta}_{a,\pi}(\lambda_0, z_m)$ – точные и восстановленные значения аэрозольного коэффициента обратного рассеяния в точке z_m на длине волны λ_i , составляют 5,18; 11,8 и 23,7% для $\lambda_0 = 355$; 532 и 1060 нм соответственно, причем максимальные по трассе зондирования погрешности $\delta\beta_{a,\pi}(\lambda_0, z_m)$ не превышают погрешность задания опорного значения $\beta_{a,\pi}(\lambda_0, z_k)$, равную 25%.

Профили $\varepsilon_a(\lambda_0, z)$ при заданных пространственных флуктуациях температуры и коэффициентов $C_{\lambda i}$ восстановлены со средними погрешностями (вычисляемыми по (8) с заменой $\beta_{a,\pi}$ на ε_a), равными 8,13 и 9,23% для $\lambda_0 = 355$ и 532 нм соответственно, что является удовлетворительным для оценки как собственно спектральных значений $\varepsilon_a(\lambda_0, z)$ по трассе зондирования, так и некоторых интегральных микрофизических параметров аэрозоля (таких как счетная и объемная концентрации) [17].

Профиль $\varepsilon_a(1060, z)$ можно оценить, как $\varepsilon_a(1060, z) = C_{1060}\varepsilon_a(\lambda_0, z)$, где C_{1060} определяется из (7) с коэффициентами из табл. 1 или 2. Очевидно, что ошибки $\delta\varepsilon_a(1060, z)$ будут сравнимы с величиной пространственных вариаций C_{1060} .

Следует отметить, что в зависимости от выбранного при моделировании значения k (при его одинаковом случайному пространственному разбросе) ошибки $\langle \delta\varepsilon_a(\lambda_0) \rangle$ изменялись в пределах от 6 до 15%, а $\langle \delta\beta_{a,\pi}(\lambda_0) \rangle$ во всех случаях не превышали ошибок задания опорных значений $\beta_{a,\pi}(\lambda_0, z_k)$. Очевидно, что меньшим вариациям $C_{\lambda i}$ будут соответствовать и меньшие погрешности восстановления профилей $\varepsilon_a(\lambda_0, z)$ и $\beta_{a,\pi}(\lambda_0, z)$.

Для сравнения на рис. 2, б, в приведены профили $\varepsilon_a(\lambda_0, z)$, восстановленные по общеизвестной

методике [4], заключающейся в дифференцировании (2) при заданном априорно профиле $N_R(z)$, соответствующем стандартной газовой атмосфере [13]. Видно, что даже при незначительном отклонении профиля атмосферной температуры от модельного методика [4] приводит к большим погрешностям в определении $\varepsilon_a(\lambda_0, z)$ и даже к физически абсурдным (отрицательным) значениям $\varepsilon_a(\lambda_0, z)$.

1. Ельников А.В., Бурлаков В.Д., Долгий С.И., Зуев В.Б., Невзоров А.В., Плюснин И.И., Сысоев В.М., Бушмелева К.И., Черный М.С. Лидарная система для зондирования аэрозоля в г. Сургуте в рамках проекта CIS-LiNet // Оптика атмосф. и океана. 2006. Т. 19. № 11. С. 982–985.
2. Самохвалов И.В., Бобровников С.М., Гейко П.П., Ельников А.В., Кауль Б.В. Развитие высотного лидара Томского государственного университета как уникального комплекса для мониторинга атмосферы // Оптика атмосф. и океана. 2006. Т. 19. № 11. С. 995–999.
3. Чайковский А.П., Иванов А.П., Балин Ю.С., Ельников А.В., Тулинов Г.Ф., Плюснин И.И., Букин О.А., Чен Б.Б. Лидарная сеть CIS-LiNet для мониторинга аэрозоля и озона: методология и аппаратура // Оптика атмосф. и океана. 2005. Т. 18. № 12. С. 1066–1072.
4. Ansmann A., Wandiger U., Riebesell M., Weitkamp C., Michaelis W. Independent measurement of extinction and backscatter profiles in cirrus clouds by using a combined Raman elastic-backscatter lidar // Appl. Opt. 1992. V. 31. N. 33. P. 7113–7131.
5. Волков С.Н., Кауль Б.В. Методика определения коэффициентов обратного рассеяния или ослабления света в аэрозольных слоях тропосферы лидаром, работающим на частотах упругого и комбинационного рассеяния света // Оптика атмосф. и океана. 1994. Т. 7. № 11–12. С. 1592–1602.
6. Ferrare R.A., Melfi S.H., Whiteman D.N., Evans K.D., Leifer R. Raman lidar measurements of aerosol extinction and backscattering 1. Methods and comparisons // J. Geophys. Res. D. 1998. V. 103. N 16. P. 19,663–19,672.
7. Тихонов А.Н., Арсенин В.Я., Тимонов А.А. Математические задачи компьютерной томографии. М.: Наука, 1987. 160 с.
8. Иванов А.П., Чайковский А.П. Контроль трансграничного переноса загрязнений в атмосфере Беларуси и Западной Европы // Естественные и антропогенные аэрозоли. СПб.: ВВМ, 2005. С. 143–150.
9. Самойлова С.В., Балин Ю.С., Ериков А.Д. Устойчивый метод восстановления оптических характеристик аэрозольных полей по данным комбинационного лидарного зондирования // Оптика атмосф. и океана. 2003. Т. 39. № 3. С. 384–393.
10. Еременко М.Н., Катаев М.Ю., Мицель А.А. Новая методика обработки данных озонометра М–124 // Оптика атмосф. и океана. 1999. Т. 12. № 1. С. 77–81.
11. Kovalev V.A. Analytical differentiation of differential-absorption-lidar data distorted by noise // Appl. Opt. 2002. V. 41. N 6. P. 1156–1162.
12. Иванов А.П. Оптика рассеивающих сред. Минск: Наука и техника, 1969. 592 с.
13. Зуев В.Е., Креков Г.М. Оптические модели атмосферы. Л.: Гидрометеоиздат, 1986. 256 с.

14. Колемаев В.А., Калинина В.Н. Теория вероятностей и математическая статистика. М.: ИНФРА-М, 1997. 302 с.
15. Андреев С.Д., Илев Л.С. Моделирование оптических характеристик аэрозолей приземного слоя атмосферы в области спектра 0.3÷15 мкм. Ч. 3. Результаты моделирования // Оптика атмосф. и океана. 1995. Т. 8. № 8. С. 1236–1243.
16. Креков Г.М., Кавлянов С.И., Крекова М.М. Интерпретация сигналов оптического зондирования атмосферы. Новосибирск: Наука, 1987. 184 с.
17. Кугейко М.М., Лысенко С.А. Уравнения множественной регрессии для фракционных концентраций атмосферного аэрозоля и спектральных значений коэффициента ослабления // Ж. прикл. спектроскопии. 2006. Т. 73. № 6. С. 807–812.

M.M. Kugeiko, S.A. Lisenko. About determination of optical characteristic profiles of troposphere aerosol from signals of Raman-lidar and single-angle nephelometer.

The method of retrieval of the extinction ε_a and backscatter $\beta_{a,\pi}$ coefficients profiles of troposphere aerosols from signals of elastic backscatter at wavelengths $\lambda_0 = 350; 532; 1060$ nm, as well as Raman scattering of the atmosphere nitrogen ($\lambda_R = 387; 607$ nm). This method does not require differentiation of logarithm of atmospheric nitrogen density and eliminates the uncertainty in the choice of spectral dependence $\varepsilon_a(\lambda)$ by means of measurements of aerosol scatter coefficients $\beta_{a,\theta}$ at the angle $\theta = 33^\circ$ at wavelengths λ_0 . The choice of 33° angle is based on analysis of multiple regressions between spectral values of ε_a and $\beta_{a,\theta}$ of atmosphere bottom layer. Examples of retrieval of vertical profiles of ε_a and $\beta_{a,\theta}$ are given. The influence of measurement errors and atmosphere temperature fluctuations on the accuracy of ε_a and $\beta_{a,\theta}$ determination is evaluated.